

ریزیست چینه‌نگاری و محیط (رسوبی سازند سورمه) در کوه گدون

مهناز پروانه‌نژاد شیرازی^۱، محمد بهرامی^۱، سید بهمن موسوی^{۱*} و علی مبیب نژاد^۲

(۱) گروه زمین‌شناسی، دانشگاه پیام نور، شیراز، ایران

(۲) مدرس دانشگاه پیام نور، اهواز، ایران

* عهده‌دار مکاتبات shahab135856@yahoo.com

پنجه

سازند سورمه از گروه خامی، ژوراسیک پیشین-پسین، به طور عمده از سنگ‌های کربناته ساخته شده است و از سازند زبرین و زبرین خود با ناپیوستگی فرسایشی جدا می‌شود. قاعده‌ی رخساره‌های کربناته بخش آغازین سازند یاد شده با زون لیتوتیس (*Lithiotis zone*) مشخص می‌شود. حد بالایی ژوراسیک میانی در فارس (شمال خاوری شیراز)، در رأس زون زیست‌چینه‌ای فندرینا (*Pfenderina*) انتخاب می‌شود. افق ماسه‌سنگ قرمزنگ در منطقه‌ی مورد مطالعه (کوه گدون) را می‌توان ناشی از عملکرد فاز سیمرین میانی دانست. هشت ریزخساره‌ی کربناته شامل چهار ریزخساره‌ی دریایی باز کم عمق و عمیق (O)، دو ریزخساره‌ی سدی (B) و دو ریزخساره‌ی کولاپی (L) در این سازند شناسایی شده‌اند. در برش کوه گدون، مشخص شده است که یک سطح انحلال یافته از برش انحلالی در پایانه‌ی سازند سورمه وجود دارد بنابراین مرز ژوراسیک-کرتاسه در کوه گدون ناپیوسته می‌باشد.

واژه‌های کلیدی: سازند سورمه، کوه گدون، زون‌های زیستی، مرز ژوراسیک-کرتاسه

۱- مقدمه

۲- موقعیت جغرافیایی

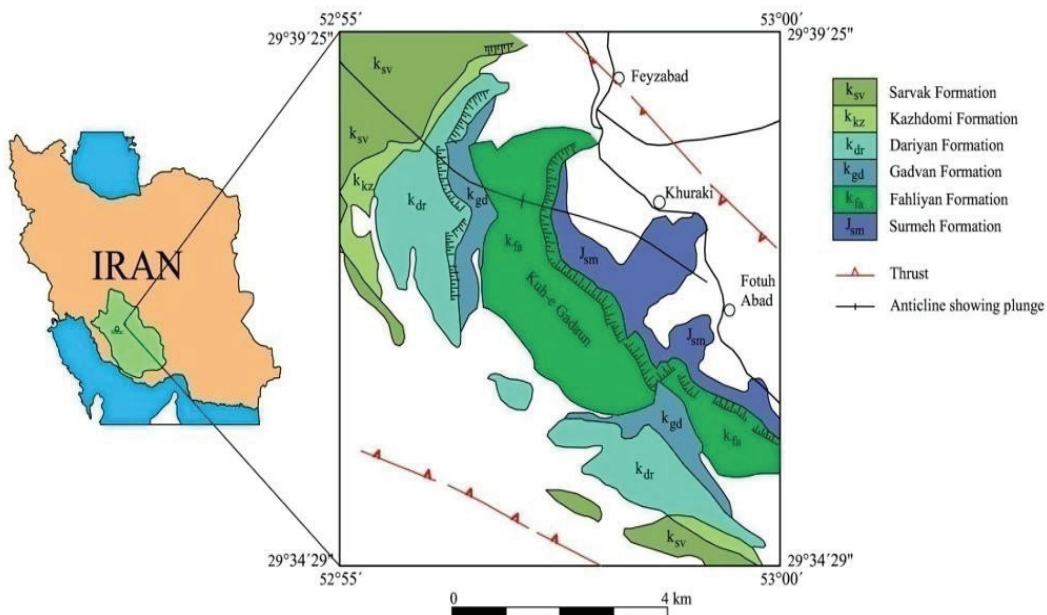
برش چینه‌شناسی مورد مطالعه (تصویر ۱)، در ۴۲ کیلومتری شمال-خاوری شیراز، در کوه گدون (۱۲° ۵۷' ۵۱" N؛ ۵۲° ۳۷' ۵۱" E) جنوب روستای فتوح آباد واقع شده است. در برش کوه گدون نیز یک افق اکسید آهن در پایه و یک سطح انحلال یافته از برش انحلالی در پایانه‌ی سازند سورمه وجود دارد. بنابراین، مرز سازند سورمه در برش مورد مطالعه با سازند زبرین یعنی تیریز که قدیمی‌ترین بیرون‌زدگی منطقه می‌باشد، ناپیوسته، و مرز زبرین آن با سازند فهلیان نیز ناپیوسته و فرسایشی است.

۳- (وش) مطالعه

مطالعه‌ی انجام شده برای بررسی ریزیست چینه‌نگاری و محیط رسوبی سازند سورمه در برش کوه گدون طی دو مرحله مشتمل بر: تهیه‌ی برش‌های نازک میکروسکوپی و مطالعات آزمایشگاهی بوده.

سازند سورمه (توآرسین-تیتونین) قدیمی‌ترین عضو گروه خامی است و در کمربند رورانده-چین خورده‌ی زاگرس (Zagros Fold belt) جای دارد (Alavi 2007). زمین‌شناسان متعددی به مطالعه‌ی سازند سورمه از دیدگاه‌های مختلف پرداخته‌اند، از آن جمله می‌توان به (James & Wynd 1965)، (یوسف‌پور ۱۳۸۳)، (لطفی ۱۳۸۵) و (جلیلیان و همکاران ۱۳۸۷) اشاره کرد.

جلیلیان و همکاران (۱۳۸۷) در مطالعه‌ی سطح‌الارضی برش‌های سازند سورمه (برش الگو در جنوب فیروزآباد و نیز برش‌هایی در پادنا و خانه‌کت) بیان کردند که یک افق میکروکنگلومراتی آغشته به اکسید-های آهن در پایه و یک افق از برش انحلالی (هم‌ارز اندریت هیث) در پایانه‌ی سازند سورمه وجود دارد. تاکنون هیچ‌گونه بررسی فسیل‌شناسی همه جانبی و دقیقی بر روی سازند سورمه (کوه گدون) انجام نشده است. هدف اصلی این مقاله بررسی ریزیست چینه‌نگاری و محیط رسوبی سازند سورمه در کوه گدون است.



تصویر ۱- جایگاه زمین‌شناسی و موقعیت جغرافیایی برش مورد مطالعه (نقشه‌ی ۱:۱۰۰,۰۰۰ شیراز، سازمان زمین‌شناسی کشور)

است. در مقطع نمونه‌ی سازند یاد شده (کوه سورمه)، زون‌های ۳، ۵، ۷ و ۸ موجود است. همچنین زون‌های زیستی سازند سورمه عبارتند از: (امیری‌بختیار و همکاران ۱۳۸۲).

1. *Crassicollaria brevis-Crassicollaria intermedia assemblage zone* (11b)
2. *Saccocoma Range zone* (10)
3. *Radiolaria sp. Assemblage zone* (9)
4. *Clypeina jurassica Range zone* (8)
5. *Kurnubia jurassica interval-zone* (7)
6. *Trocholina palastinensis-Trocholina sp. Assemblage zone* (6)
7. *Pfenderina Range zone* (5)
8. *Lithiotis Range zone* (3)

۴-۱- زون‌های (یسته) سازند سورمه (کوه گدون)

سازند سورمه در کوه گدون دارای زون‌های زیستی به شرح زیر می‌باشد (تصویر ۲):

(الف) - ***Lithiotis Range zone* (3)** به عنوان قاعده‌ی عملی سازند سورمه در برش مورد مطالعه محسوب می‌شود و طبقاتی که دارای فسیل دوکفه‌ای لیتیوتیس می‌باشند از نظر چینه‌شناسی به عنوان طبقه‌ی شاخص، در اغلب نقاط ناحیه‌ی فارس و زاگرس مرتفع به شمار می‌آیند. سنّ این زون زیستی به ژوراسیک پیشین (لیاس) نسبت داده می‌شود.

(ب) - ***Pfenderina Range zone* (5)** به عنوان حد بالای

ژوراسیک میانی در برش مورد مطالعه (کوه گدون) و در اغلب نقاط فارس، جنوب فراواتفادگی دزفول و مناطق بلافصل آن در خلیج فارس

است. در این تحقیق بیش از ۲۰۰ مقطع میکروسکوپی مورد مطالعه قرار گرفت. بعد از شناسایی فرامینی‌فرهای بتونیک و بر اساس پراکندگی آن‌ها چند بایوزون معرفی گردید. برای شناسایی فرامینی‌فرهای مطالعات لوبلیش و تاپان (Loeblich & Tapan 1989)، کلانتری (خسرو‌تهرانی ۱۳۷۷)، امیری‌بختیار و همکاران (۱۳۸۲) کمک گرفته شد.

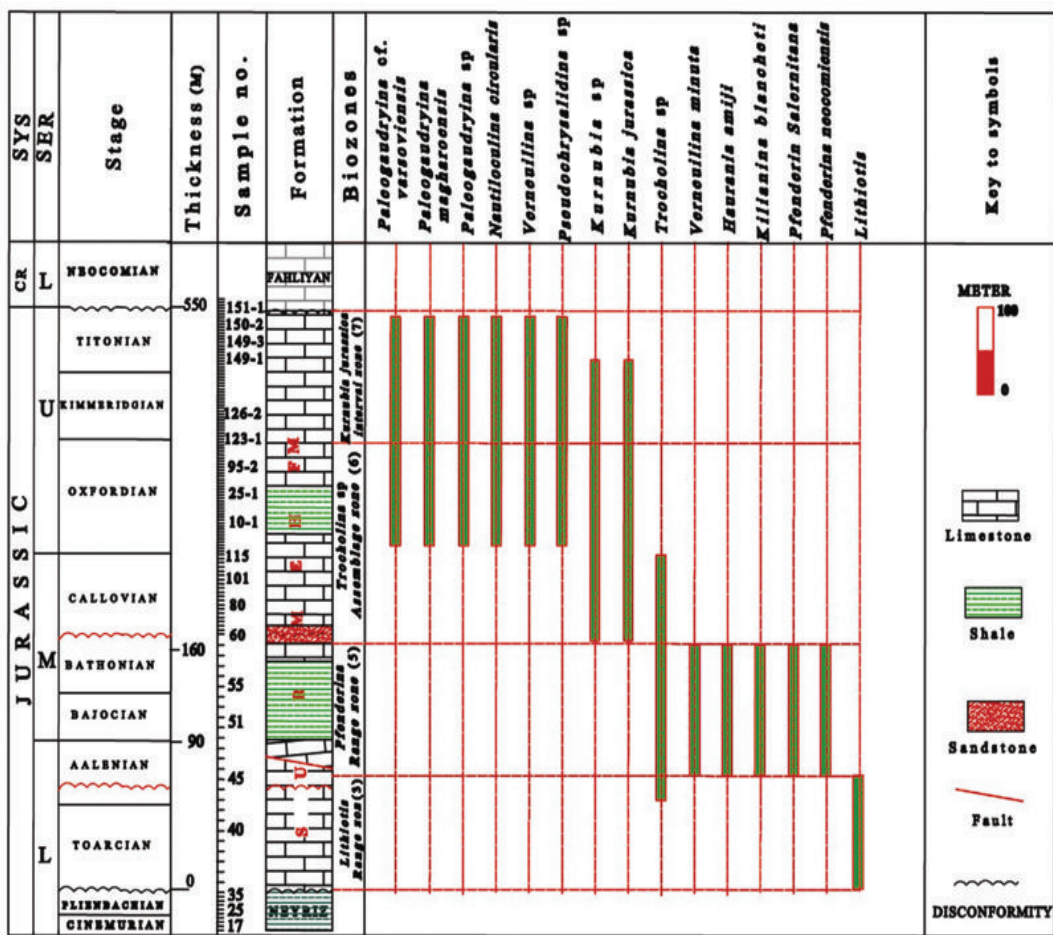
طبقه‌بندی سنگ‌های کربناته در مقاطع میکروسکوپی به روش دانهام (Dunham 1962) انجام گرفت و در توصیف میکروفاسیس‌ها و مقایسه‌ی رخساره‌ها با محیط امروزی و قدیمی بر پایه‌ی نظرات Lasemi (1995), Wilson (1975), Flügel (2004), Tucker & Wright (1990) و لاسمی (۱۳۷۹) انجام شده است.

۴- بحث ۶ بروز

در این تحقیق ابتدا به مشخصات بیواستریاتیگرافی سازند سورمه، سپس به تشریح توالی چینه‌نگاری و میکروفاسیس‌های آن و در پایان به تفسیر محیط رسوبی سازند سورمه در کوه گدون پرداخته خواهد شد. در این نوشته سازند نیریز در کوه گدون برای اوّلین بار گزارش شده است.

۴-۱- مشخصات بیواستریاتیگرافی

مجموع سنگواره‌های موجود در سازند سورمه در قالب زون‌های زیستی شماره‌ی ۳، ۵، ۷، ۸، ۹ و ۱۱b شناسایی و معرفی شده



تصویر ۲- توالی چینه‌نگاری و زونهای زیستی سازند سورمه در کوه گدون

۱۴-۱- فسیل‌های شاخص سازند سورمه (کوه گدون)

فسیل‌های شاخص سازند سورمه در کوه گدون به شرح زیر می‌باشند (تصاویر ۳، ۴ و ۵):

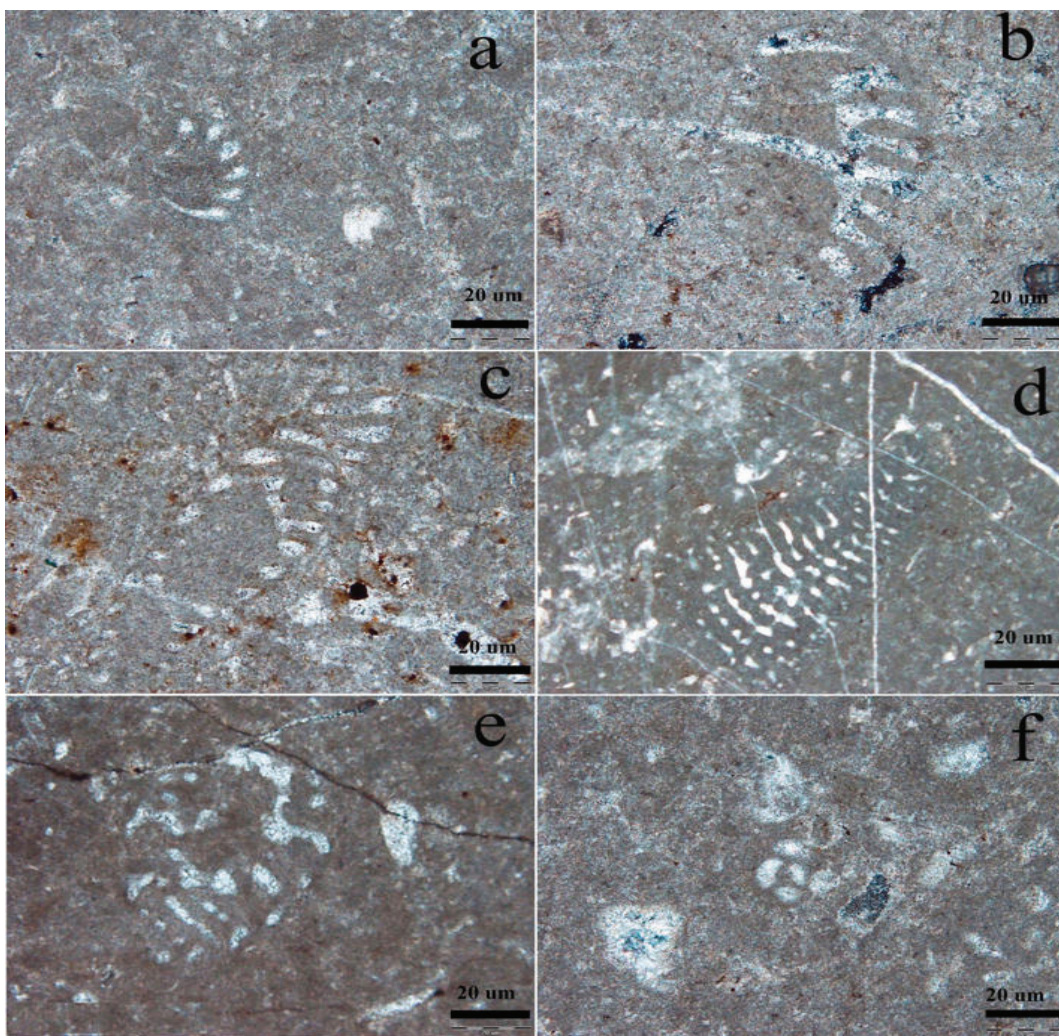
1. *Lithiotis*.
2. *Pfenderina neocomiensis* (Pfender, 1938).
3. *Pfenderina salernitana* (Henson, 1948).
4. *Kilianina blancheti* (Pfender, 1933).
5. *Haurania amiji* (Henson, 1948).
6. *Verneuilina minuta* (d'Orbigny, 1839).
7. *Kurnubia jurassica* (Henson, 1948).
8. *Pseudochrysalidina* sp.
9. *Verneuilina* sp.
10. *Kurnubia* sp.
11. *Nautiloculina circularis* (Mohler, 1938).
12. *Trocholina* sp. (Paalaow, 1992).
13. *Paleogaudryina magharoensis* (Said & Barakat, 1958).
14. *Paleogaudryina cf. varsoviensis* (Said & Barakat, 1958).

ج - *Trocholina palastinensis-Trocholina* sp.

این زون زیستی با وجود **Assemblage zone (6)** مشخص می‌شود و در زیر زون *Trocholina* sp. و *palastinensis* زیستی شماره‌ی 7 و بر روی زون زیستی شماره‌ی 5 قرار دارد. این زون زیستی در برش مطالعه و در نواحی فارس و فروافتادگی دزفول یافت می‌شود (امیری‌بختیار و همکاران ۱۳۸۲). سن زون مذکور ژوراسیک پایینی تا میانی تشخیص داده شده است.

د - *Kurnubia jurassica interval-zone (7)*

این زون زیستی با ظهور *Kurnubia jurassica* در بالای زون زیستی شماره‌ی 6 مشخص می‌شود و در برش مطالعه، نواحی فارس ساحلی و فروافتادگی دزفول، در قسمت بالایی سازند سورمه مشاهده می‌شوند (امیری‌بختیار و همکاران ۱۳۸۲). سن این زون، ژوراسیک بالایی می‌باشد.



تصویر ۳- اطلس تعدادی از روزنده‌ران سازند سورمه (کوه گدون)

کربنات زیرین، شیل زیرین، کربنات میانی، شیل بالایی و کربنات بالایی.

۱- واحد کربنات زیرین: سنگ آهک‌های این واحد حاوی دوکفه‌ای لیتیوتیس و خردۀای اسکلتی فرامینی‌فرهای بتونیک است، ضخیم‌لایه تا توده‌ای، ریز تا درشت بلور، با رنگ قهوه‌ای تا خاکستری و بسیار مقاوم می‌باشد.

۲- واحد شیل زیرین: این واحد شامل شیل‌های متورق، نازک‌لایه، کم مقاوم و به رنگ سبز می‌باشد. رخساره‌های واحد شیل زیرین عمدتاً حاوی سوزن اسفنج، رادیولر و کلسیسфер، خردۀای خارپوست، دوکفه‌ای، گاستروپود و فرامینی‌فر بتونیک می‌باشد (تصویر ۸).

۳- واحد کربنات میانی: این واحد متشکل از آهک، آهک‌های دولومیتی عمدتاً ضخیم لایه تا توده‌ای، ریز تا درشت بلور، مقاوم و با رنگ هوازدگی قهوه‌ای تا خاکستری روشن که سرشار از انواع فرامینی‌فرهای بتونیک می‌باشد.

a, *Pfenderina salernitana* (Henson 1948)

b-c, *Pfenderina neocomiensis* (Pfender 1938)

d-e, *Haurania amiji* (Henson 1948)

f, *Haurania* sp.

g-h, *Verneuilina minuta* (d'Orbigny 1839)

i, *Kurnubia jurassica* (Henson 1948)

j, *Kurnubia* sp.

k-l, *Pseudochrysalidina* sp.

m-n, *Nautiloculina circularis* (Mohler 1938)

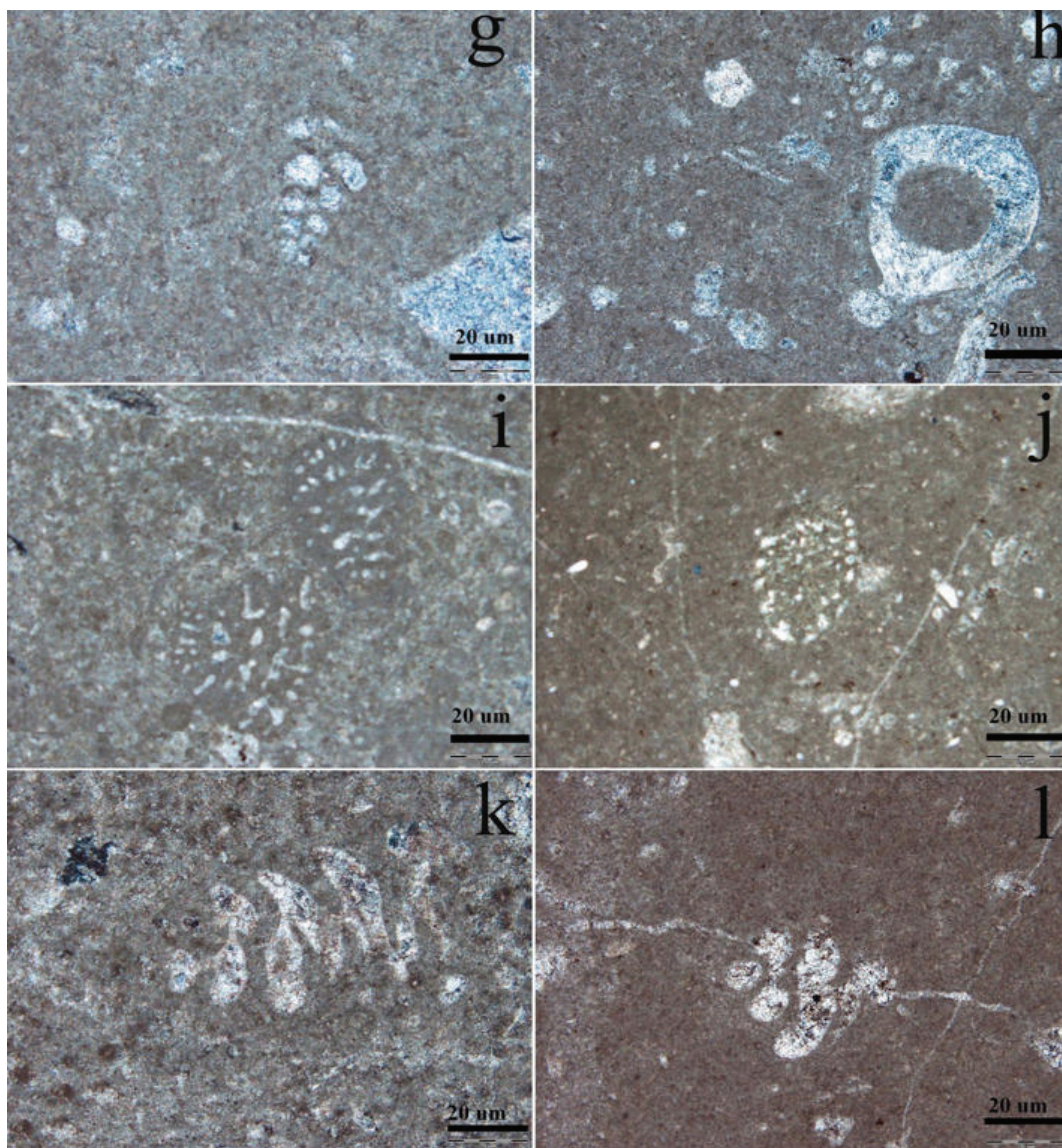
o-p, *Trocholina* sp (Paalaow 1992)

q, *Paleogaudrina magharoensis* (Said & Barakat 1958)

r, *Paleogaudrina* cf. *varsoriensis* (Said & Barakat 1958)

۴- توالی چینه‌نگاری سازند سورمه در ۵۵ گدون

سازند سورمه در کوه گدون ۵۵۰ متر ستبرای دارد و آن را به پنج واحد سنگی می‌توان تقسیم نمود. با توجه به تقسیم‌بندی جلیلیان و همکاران (۱۳۸۷)، توالی چینه‌نگاری سازند سورمه در کوه گدون نیز به پنج قسمت زیر تقسیم‌بندی شده است (تصویر ۶):



تصویر ۴- اطلس تعدادی از روزنه‌داران سازند سورمه (کوه گدون)

کربنات بالایی در هنگام پیش‌روی دریا تشکیل شده است.

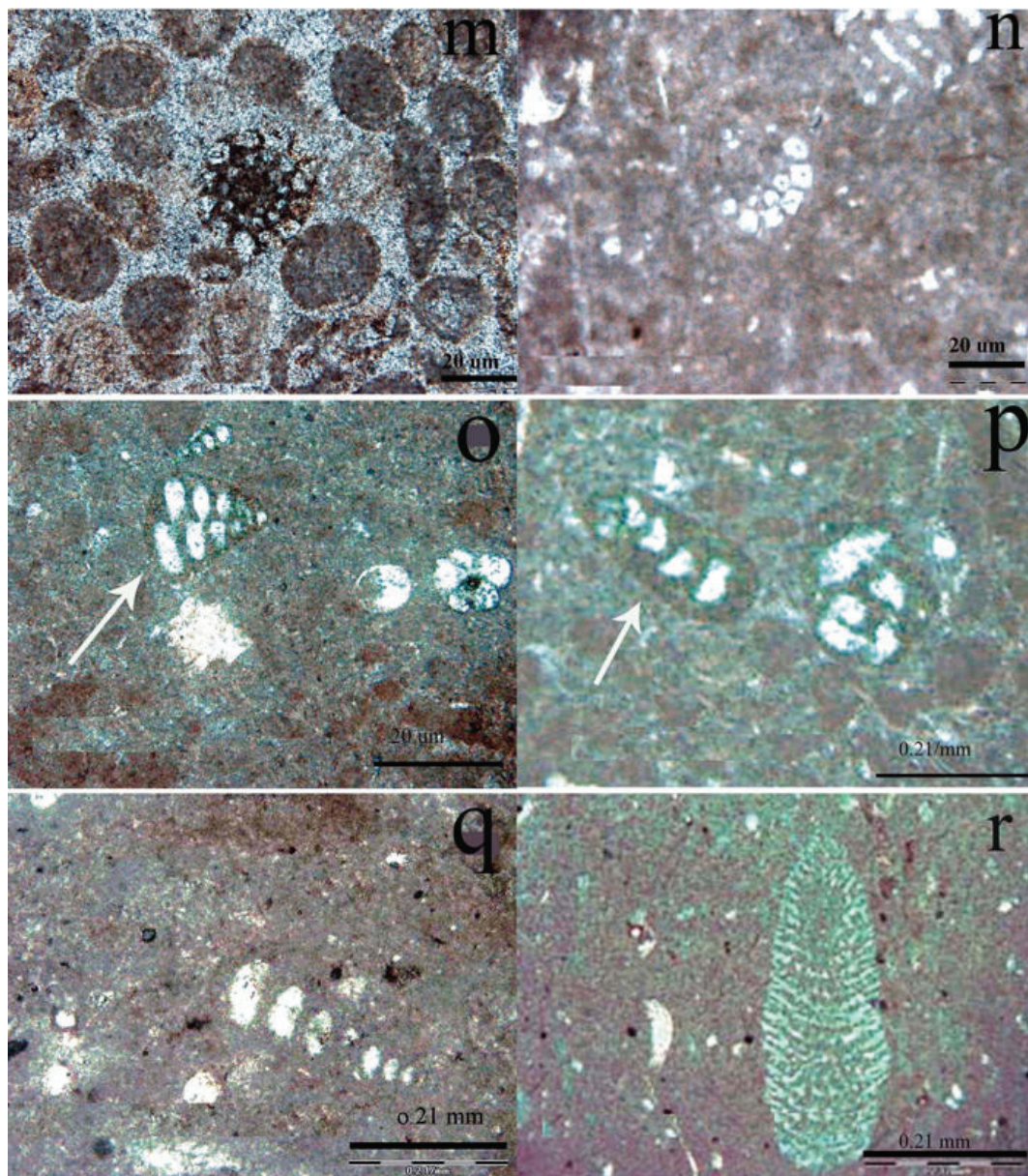
۴-۳- میکروفاسیس‌های کربناته‌ی سازند سورمه (کوه گدون)
رخساره‌های میکروسکوپی سازند سورمه در دو گروه تخریبی (شیلی، شیلی ماسه‌دار و ماسه‌سنگی) و کربناته تشخیص داده شد. میکروفاسیس‌های کربناته‌ی سازند سورمه به شرح زیر می‌باشند:

۴-۳-۱- میکروفاسیس تالاب پشت سد
:(Lagoon Microfacies)

Lime Mudstone : (MF5) L_1
این ریزرخساره، میکریت آهکی است و دارای کمتر از ۵ درصد فسیل می‌باشد (تصویر ۹).

۴- واحد شیل بالایی: این واحد متشكل از مارن و آهک‌های مارنی به رنگ زرد مایل به قرمز، نازک‌لایه، کم مقاوم و به طور متناسب دارای سنگ‌آهک است. رخساره‌های این واحد در بخش عمیق دریا تشکیل شده‌اند. از اجزای اصلی رخساره‌های واحد شیل بالایی می‌توان به فرامینی‌فرهای پلاژیک اشاره کرد. بافت تشکیل دهنده‌ی سنگ مادستون فسیل‌دار است (تصویر ۸).

۵- واحد کربنات بالایی: این واحد متشكل از آهک، آهک‌های دولومیتی، ریز تا درشت بلور، مقاوم و با رنگ هوازدگی قهوه‌ای تا خاکستری روشن می‌باشد. واحد



تصویر ۵- اطلس تعدادی از روزنه‌داران سازند سورمه (گدون)

از نشانه‌های بارز رسوب‌گذاری در محیط‌های پر تحرک و متأثر از امواج و جریان‌های رفت و برگشتی آب یعنی محیط‌های سدی است (تصویر ۱۰-۱۱).

Ooid Bioclast Litoclast Packstone to : (MF13)B₂

Grainstone

اجزای غیر اسکلتی این ریز رخساره به طور میانگین شامل ۷۰-۶۰ درصد اثید، ۱۰ درصد پلوئید و ۲۰-۱۵ درصد بیوکلاست می‌باشد. فراوانی دانه‌های غیراسکلتی اثید، نبودن میکریت و پرشدن فضای بین دانه‌ها با سیمان اسپارایت، نشانه‌ی رسوب‌گذاری در محیط سدی است (ملکی خیمه سری ۱۳۸۷)، (تصویر ۱۰-۱۱).

Bioclast Wackstone : (MF6)L₂

اجزای اصلی این ریز رخساره شامل فرامینی فربنتونیک در یک زمینه میکریتی تشکیل شده است. فراوانی میکریت، بیوکلاست‌های ویژی تالاب مانند تروکولینا، نشانه‌ی رسوب‌گذاری محیط کم انرژی تالاب پشت سد است (تصویر ۹-۱۰).

۴-۴- میکروفاسیس سد : (Barrier Microfacies)

Bioclast Pelloid Packstone to Grainstone : (MF7)B₁

اجزای غیر اسکلتی این ریز رخساره شامل ۹۰-۸۰ درصد پلوئید و کمتر از ۱۰ درصد بیوکلاست می‌باشد. فراوانی دانه‌های غیراسکلتی پلوئید، نبودن میکریت و پرشدن فضای بین دانه‌ها با سیمان اسپارایت،

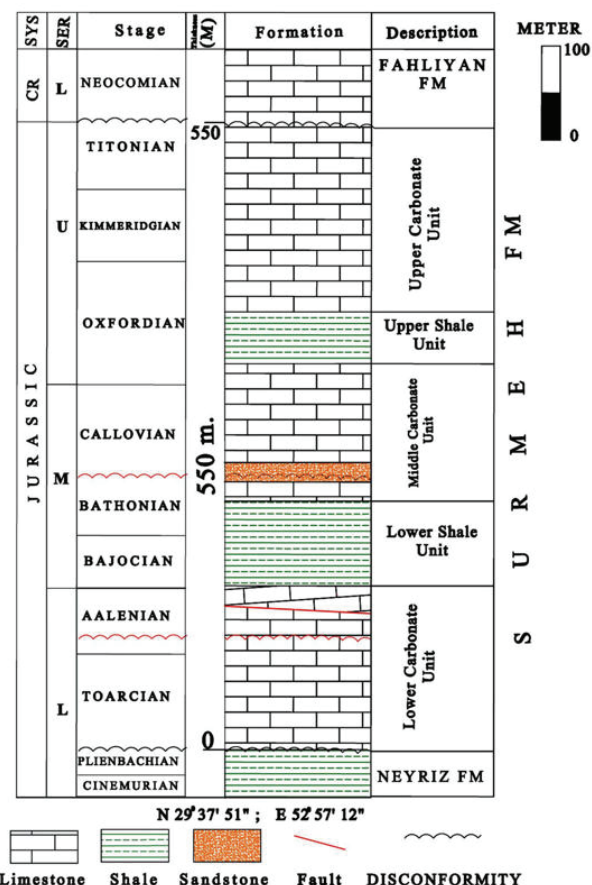
۴-۳-۳- میکروفاسیس دریای باز (Microfacies)

Bioclastic Pelloid Wackstone to Packstone : (MF8) O₁

اجزای اسکلتی این ریزرساره به طور میانگین شامل ۱۰ درصد سوزن اسفنج، ۵ درصد رادیولر و کلسیسфер و درصد کمی خرددهای خارپوست، دوکه‌ای و گاستروپود و کمتر از ۱۰ درصد فرامینی فربتونیک مانند *Verneuilina minuta* می‌باشد. این ریزرساره در بخش کم عمق دریای باز (Shallow Open Marine) تشکیل شده است. این ریزرساره را می‌توان با *RMF3* فلوگل (Flügel 2004) مقایسه کرد (تصویر ۱۱). (O1-۱۱).

Sponge Spicules, Radiolaria Wackstone : (MF9) O₂

اجزای اسکلتی این ریزرساره به طور میانگین شامل ۱۰ درصد سوزن اسفنج، ۵ درصد رادیولر و کلسیسфер و درصد کمی خرددهای خارپوست، استراکود و پلیسیپود نازک لایه و جلبک قرمز می‌باشد. این ریزرساره در بخش عمیق دریای باز (Deep Open Marine) تشکیل شده است. فراوانی میکریت و حضور سوزن اسفنج همراه با میکروفیل‌های دریای باز مانند رادیولاریا از نشانه‌های رسوب گذاری در محیط‌های کم انژی است. این ریزرساره را می‌توان با *RMF1* تصویر ۶-



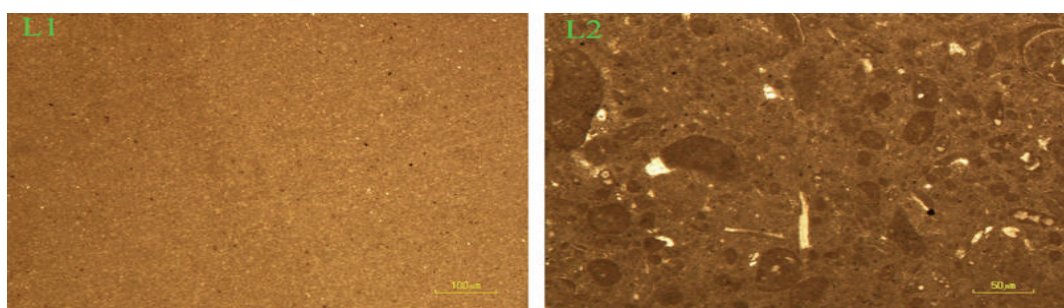
تصویر ۶- توالی چینه‌نگاری سازند سورمه (در کوه گدون)



تصویر ۷- آهک‌های لیتیوتیس دار بخش آغازین (کربنات زیرین) سازند سورمه (کوه گدون) و وجود افقی از اکسید آهن در پایه



تصویر ۸- واحد شیل زیرین، واحد شیل بالایی و وجود افقی از ماسه سنگ قرمزنگ

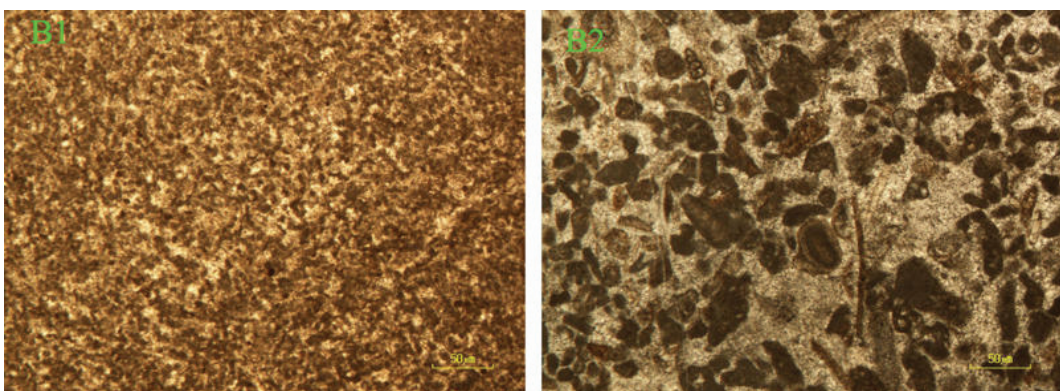


تصویر ۹- رخساره‌های پهنی تالاب پشت سد، L1- مادستون آهکی. L2- در این ریزرخساره فراوانی میکریت، بیوکلاستهای ویژی تالاب مانند تروکولینا، وجود دارد.

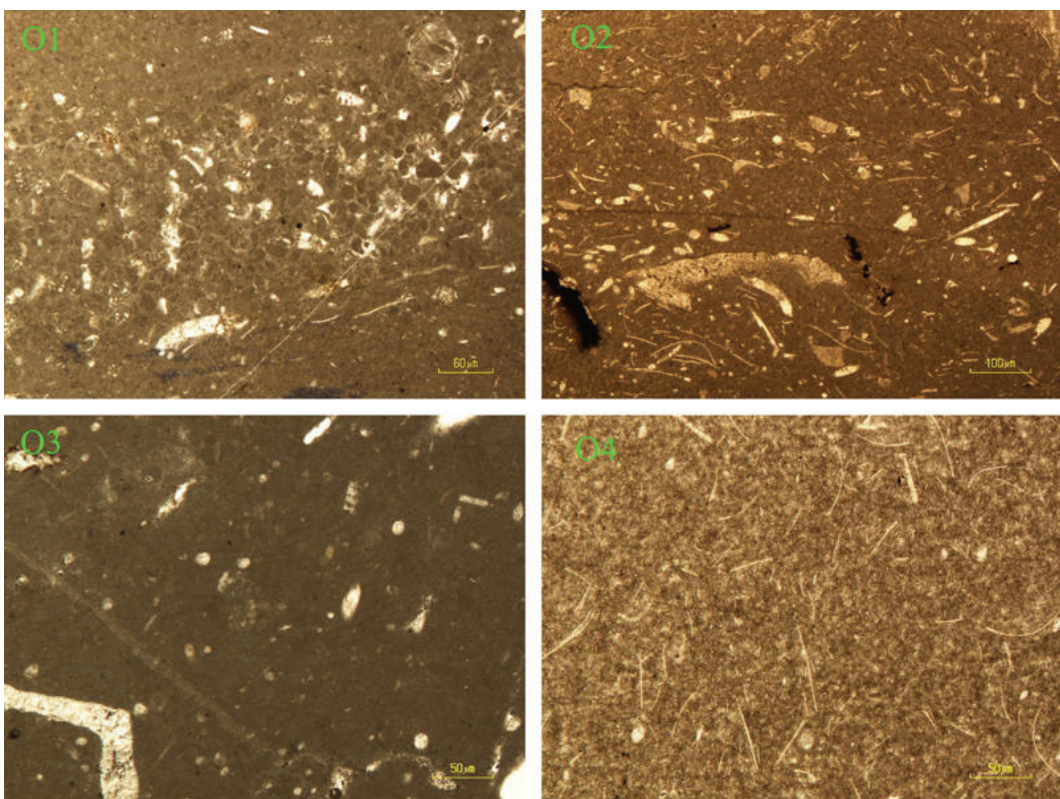
نام برده. بافت تشکیل دهندهی سنگ، وکستون تا مادستون است و محیط تشکیل این ریزرخساره، دامنه (Slope) و حوضه‌ی (Basin) با انرژی پایین، در بخش عمیق دریای باز (Deep Open Marine) می‌باشد. این ریزرخساره را می‌توان با RMF5 Flügel (Flügel 2004) مقایسه کرد (تصویر ۱۱-O3-11).

فلوگل (Flügel 2004) مقایسه کرد (تصویر ۱۱-O2-11).

Calcispherellide Pelagic Foraminifera : (MF10)O₃ Wackstone
از اجزای اسکلتی این ریزرخساره فرامینی فرهای پلاژیک و Rotalipora sp., Heterohelix sp



تصویر ۱۰- رخساره‌های سد کربناته، B1- این ریزرخساره دربردارنده گرینستون پلوبئیدی بیوکلاستی است. B2- فراوانی دانه‌های غیراسکلتی اائید و پر شدن فضای بین دانه‌ها با سیمان اسپارایت در این ریزرخساره نمایان است.



تصویر ۱۱- رخساره‌های دریای باز، O1 - بیوکلاستیک پلوبئید وکستون تا پکستون. O2- فراوانی میکریت و حضور سوزن اسفنج همراه با میکروفیل‌های باز مانند رادیولاریا از نشانه‌های رسوب‌گذاری در محیط‌های کم انژی است. O3- از اجزای اسکلتی این ریزرخساره می‌توان به فیل‌های پلازیک Heterohelix sp و Rotalipora sp اشاره کرد. O4- حاوی ساقه‌های لاله‌وشان در یک زمینه میکراتی می‌باشد.

۱۴- تفسیر محیط رسوبی سازند سورمه در کوه گدون

فلات قاره‌ی مزوژوئیک با وسعتی به پهنه‌ی بیش از ۲۰۰۰ کیلومتر و با طول حداقل دو برابر آن (Murris 1980, Stoneley 1990)، بین جنوب تیس در شمال و قسمتی از سپر عربستان در جنوب و غرب قرار داشته است و با تجمع کربنات‌های کم عمق ایجاد گردید. رشته‌کوههای زاگرس حاصل خاتمه‌ی نئوتیس است که در شیب فلات قاره‌ای و پلاتiform، روی حاشیه‌ی وسیع صفحه‌ی آفریقایی- عربی قرار

Crinoid Wackstone : (MF11)O₄

اجزای اصلی این ریزرخساره شامل ۷۰-۶۰ درصد کربنوتید (ساقه‌ی لاله‌وشان) که در یک زمینه میکراتی، تشکیل شده است. این رخساره در بخش عمیق دریای باز Deep Open (Marine)، تشکیل شده است. این ریزرخساره را می‌توان با RMF12 ویلسون (Wilson 1975) مقایسه کرد (تصویر ۱۱- O4).

نوع رمپ هوموکلینیال ناپیوستگی تکتونیکی اصلی در آلتین و یا زودتر صفحه‌ی عربی را در نوردید (Sharland et al. 2001) و آن را (صفحه‌ی عربی) به دو پهنه تقسیم کرد (Ziegler 2001), سطح جهانی آب دریاها کاهش پیدا کرد (Golonka & Kiessling 2002) و وقایع کوتاه در روند رسوب‌گذاری سازند سورمه اتفاق افتاد که با رسوبات قاره‌ای مشخص می‌گردد.

رخساره‌ی *Bioclast Pelloid Packstone to Grainston* را می‌توان حاکی از کم شدن عمق دریا دانست. فراوانی دانه‌های غیراسکلتی پلوئید، نبودن میکریت و پر شدن فضای بین دانه‌ها با سیمان اسپارایت، از نشانه‌های بارز رسوب‌گذاری در محیط‌های پر تحرک و متأثر از امواج و جریان‌های رفت و برگشتی آب یعنی محیط‌های سلی است.

علوی (2007, 2004, 2007) شروع باز شدن نووتیس را با ناپیوستگی پایان تریاس هم‌زمان و شروع بسته شدن آن را ژوراسیک بالایی - کرتاسه زیرین می‌داند. از این زمان به بعد (آلتین)، حوضه‌ی زاگرس در طول زون‌های گسله در ژوراسیک - کرتاسه (2004) رسوب کرداند (Berberian & King 1981). اکثر رسوبات حوضه‌ی زاگرس را نشان می‌دهد (خسرو‌تهرانی ۱۳۸۴). اکثر رسوبات نهشته شده در دوره‌ی بازوسین، جریان ثقل دریایی عمیقی هستند که در طول کانال نهشته شدن (Leturmy & Robin 2010).

جلیلیان و همکاران (۱۳۸۷) بیان کردند که: با انباست حجم زیادی از رسوب در این نواحی و شبیب زیاد بستر رسوب‌گذاری، جریان‌های توربیدیتی به سمت نواحی ژرف روانه شدند. بخش شیل زیرین سازند سورمه (تصویر ۱۵) در حوضه‌ی درون شلفی (Inner Shelf) به عنوان

می‌گیرد (Alavi 2007, Pollastro 2003). مطالعه‌ی رخمنون‌های سازند نمونه‌ی ژوراسیک زیرین که به نام سازند نیریز شناخته می‌شود، در طول کوه‌های زاگرس (Stöcklin 1968, Berberian & King 1981, Alavi 1994 (1981, Alavi 1994 سینمورین - پلینس باخین) نهشته شده است.

گفتنی است که ۲/۳ سازند نیریز، فقط فسیل دوکفه‌ای استراکودا و گاستروپودا دارد (تصویر ۱۲) و از روزن‌داران شاخص سازند نیریز (*Orbitopsella praecursor*) است که در قسمت بالایی آهک‌های رسی یافت می‌شود (James & Wynd 1965) وجود استروماتولیت‌های آهکی (نشانه‌ی بارز کمربند رخساره‌ای پهنه‌ی جزر و مدی است)، فابریک ژئوپیتال و همچنین تخلخل فنستران در سازند نیریز، نشانگر محیط پهنه‌ی جزر و مدی است و در ادامه یک رخساره‌ی آواری، شیل کوارتز دار، وجود دارد که با محیط ساحلی مشخص می‌گردد. میکروفاسیس‌های سازند نیریز (کوه گدون) عبارتند از (تصویر ۱۳):

T₁) MF₄:(Intraclast Bioclast Oncoid Stromatolite Packstone

T₂)MF₃ :(Cortoid Intraclast Wackstone

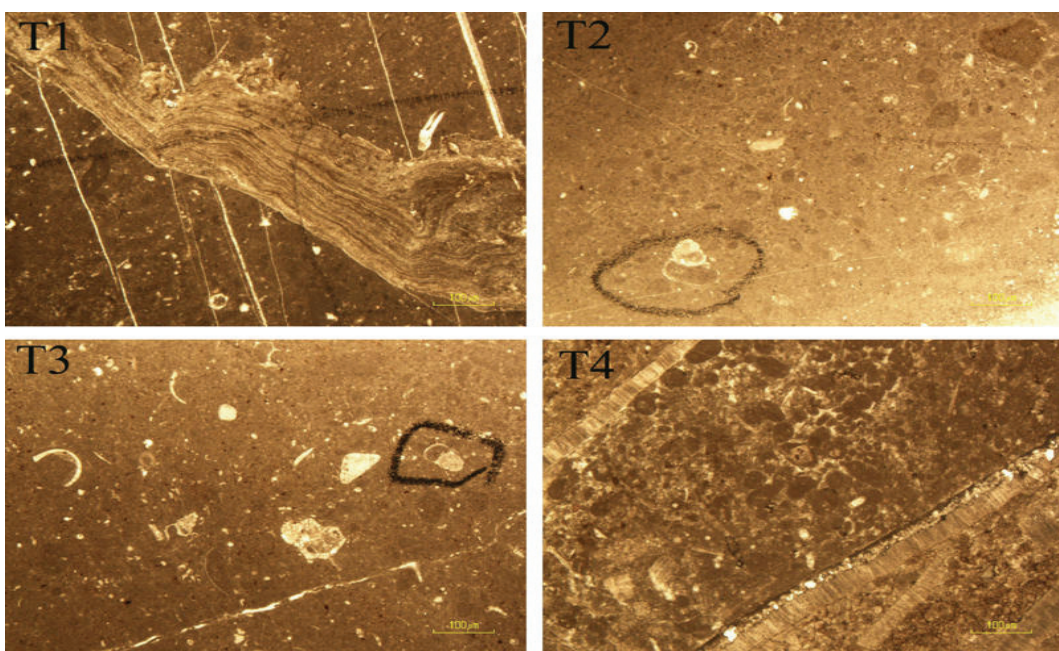
T₃)MF₂ : (Bioclast Intraclast Dolo- Wackstone

T₄)MF₁ : (Dolo Pelloid Pelecipoda Intraclast Mudestone

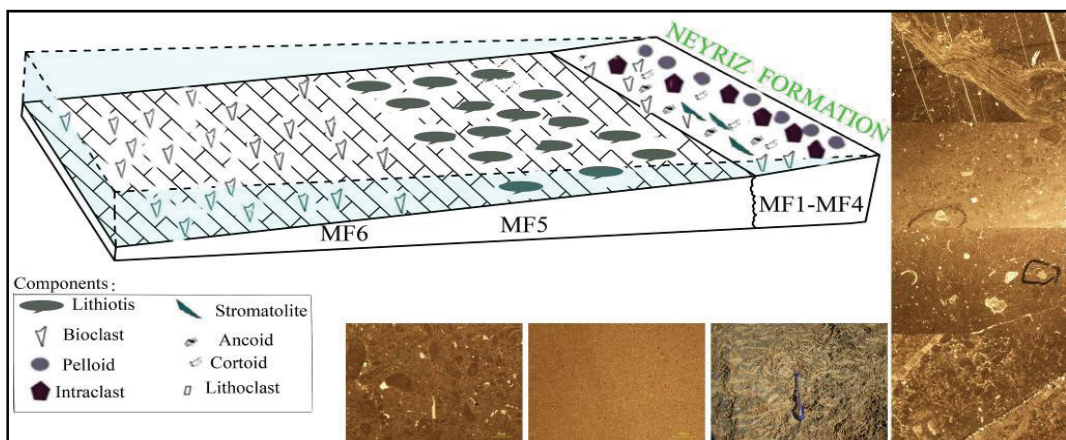
قاعده‌ی رخساره‌های کربناتی بخش آغازین سازند سورمه (کربنات زیرین) با زون *Lithiotis* مشخص می‌شود، تشخیص میکروفاسیس - های *Bioclast Wackstone* و *Lime Mudstone* در بخش آغازین سازند سورمه، آشفتگی زیستی، فراوانی میکریت و بیوکلاست‌های ویژه‌ی مناطق کم انرژی دیده می‌شود. محیط تشکیل رخساره‌های کربنات زیرین سازند سورمه (تصویر ۱۴) در یک پلاتفرم کربناتی از



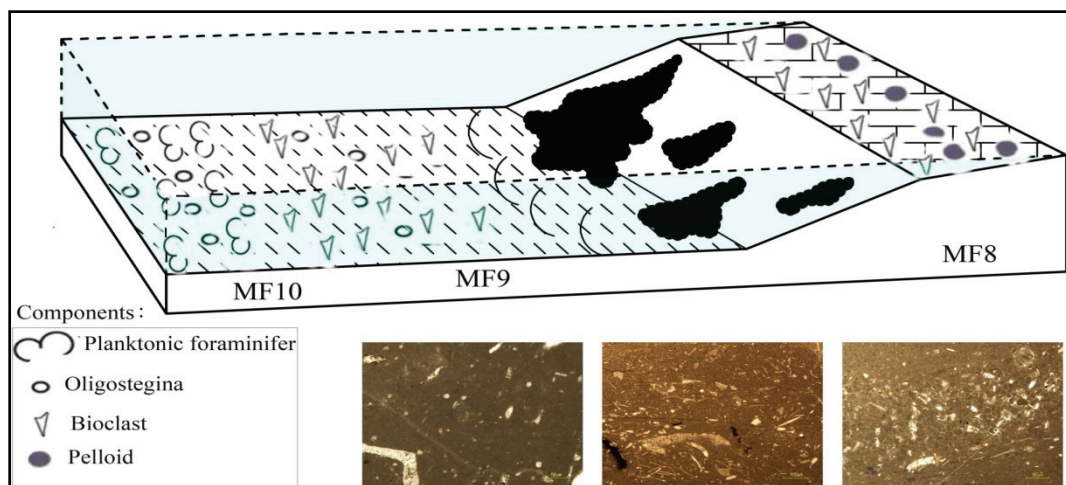
تصویر ۱۲- فسیل گاستروپودا و دوکفه‌ای در سازند نیریز (قدیمی‌ترین بیرون‌زدگی منطقه- کوه گدون)



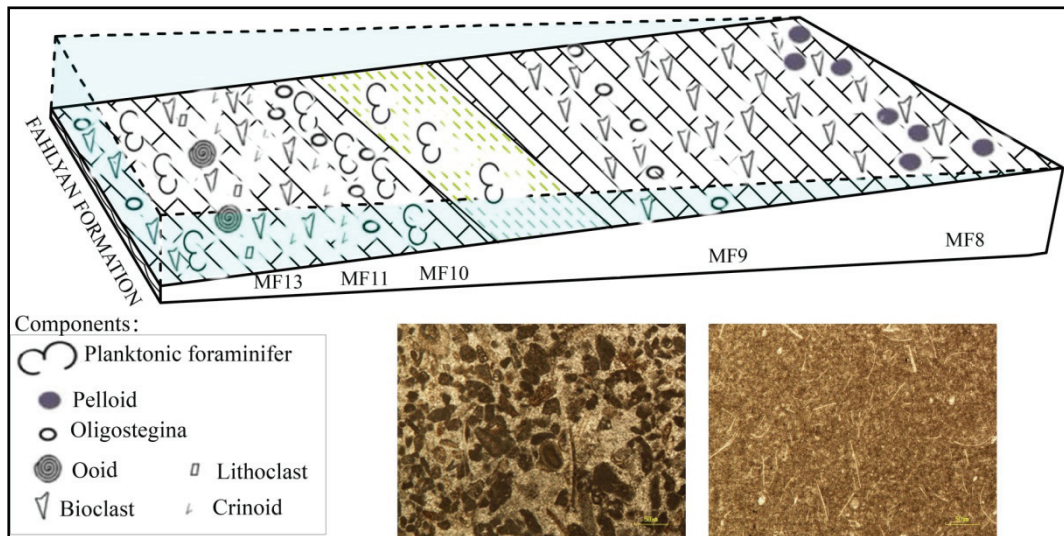
تصویر ۱۳- رخساره‌های پهنه‌ی جزر و مدی، T1- وجود استروماتولیت از نشانه‌های بارز این کمربند رخساره‌ای است. T2- کورتوئید ایتراکلاست وکستون. T3- بیوکلاست ایتراکلاست دولو و کستون. T4- دولو پلوئیدا پلسی‌پودا ایتراکلاست مادستون.



تصویر ۱۴- محیط تشکیل رخساره‌های کربنات زیرین سازند سورمه (رمپ هوموکلینال) در کوه گدون



تصویر ۱۵- محیط رسوب گذاری شیل زیرین سازند سورمه



تصویر ۱۶- محیط رسوب‌گذاری کربنات میانی، شیل بالایی و کربنات بالایی سازند سورمه در یک رمپ هوموکلینال

۱۳۸۴) - مارن و سنگ‌آهک است که نشانگر محیط‌های دریایی با ژرفای متوجه می‌باشد.

مطالعه‌ی برش‌های نازک سازند سورمه در کوه گدون منجر به شناسائی زون ریزیست چینه‌ای *Pfenderina* شد که حد بالایی ژوراسیک میانی در فارس، در رأس زون یاد شده مشخص می‌شود. با پیش‌روی تدریجی دریا در ژوراسیک میانی (بازوسبین-باتونین)، رسوبات دریایی به تدریج آهک‌های لیتیوتیس‌دار لیاس را پوشانده‌اند. پیش‌روی دریایی ژوراسیک میانی تا ژوراسیک بالایی در اغلب نقاط ایران ادامه داشته است (خسروتهرانی ۱۳۸۴). بیشترین بالا آمدگی سطح آب دریاهای که صفحه‌ی عربی را فرا گرفت در آكسفوردین و به Sharland et al. 2001, Haq & Al-Qahtani 2005) این بالا آمدن سطح آب دریا از اواسط کالولین شروع شد و (Sharland et al. 2001, Haq & Al-Qahtani 2005) تا اواخر کیمریجین ادامه داشته است (Sharland et al. 2001). تشخیص میکروفاسیس‌های، *Bioclastic Pelloid Wackstone to Sponge Spicules, Radiolaria Packstone* در *Calsipharellide Pelagic Foraminifera Wackstone* و سازند سورمه، حاکی از پیش‌روی تدریجی دریا می‌باشد، رسوبات شیل بالایی سازند سورمه در این دریایی پیش‌رونده نهشته شده است.

مطالعات چینه‌شناسی، رسوب‌شناسی و فسیل‌شناسی سنگ‌های ژوراسیک فوکانی (آكسفوردین-کیمریجین) در این منطقه (کوه گدون) نشانگر آن است که بخش کربنات بالایی سازند سورمه در هنگام پیش‌روی دریا در ژوراسیک فوکانی تشکیل شده است. وجود اسپیکولهای اسفنج، کلسیسфер، جلبک قرمز، خار خارپوست و ساقه‌های نازک کرینوئید در یک زمینه‌ی میکریتی و در ادامه، تجمع ساقه‌های کرینوئید

بخشی از یک فلات حاشیه‌دار (Rimmed Shelf) وسیع رسوب‌گذاری کرده است (Lasemi & Jalilian 2010).

پس از نهشته شدن واحد شیل زیرین سازند سورمه و پر شدن حوضه توسط کربنات‌ها، محیط دوباره رمپ می‌شود و این شرایط تا انتهای ژوراسیک ادامه می‌یابد (جلیلیان ۱۳۸۸). با توجه به تغییر تدریجی رخساره‌ها به یکدیگر و نبود ساخته‌های ریفی، نبود کورتوبوئیدها، آنکوئیدها، پیزوئیدها و دانه‌های مجتمع (Aggregate) که شاخص شلف کربناته بوده یا به ندرت در رمپ‌های کربناته مشاهده می‌شوند (مغفوری مقدم ۱۳۸۷) می‌توان نتیجه گرفت که رخساره‌های کربنات میانی، شیل بالایی و کربنات بالایی سازند سورمه در یک محیط رمپ هوموکلینال (Homoclinal Ramps) تشکیل شده‌اند (تصویر ۱۶).

وجود یک افق ماسه‌سنگ قرمزنگ در منطقه‌ی مورد مطالعه نشان‌دهنده‌ی محیط کم عمق و ساحلی دریایی است. کم شدن عمق دریا و ضخامت رسوبات ماسه‌سنگی در این ناحیه را می‌توان ناشی از عملکرد فاز سیمرین میانی در بازوسبین-باتونین دانست. این رویداد نخستین بار به نام رویداد زمین‌ساختی باطنین توسط آقانباتی (۱۹۷۵)، آقانباتی و سعیدی (۱۳۶۰) معرفی شد. بررسی‌های زمین‌ساختی، لیتولوژی و ویژگی رسوب‌های نهشته شده در دو طرف فاز سیمرین میانی (کیمرین میانی) به گونه‌ای است که به آسانی می‌توان آن‌ها را در دو دوره‌ی رسوبی جای داد.

نخستین دوره‌ی رسوبی که به نهشته‌های پس از جنبش‌های تریاس میانی (فاز سیمرین پیشین) تا سیمرین میانی است و بیشتر شیل و ماسه‌سنگ (آقانباتی ۱۳۸۳) می‌باشد در حالی که سنگ‌های دوره‌ی رسوبی دوم در مرز ژوراسیک و کرتاسه - که از سیمرین میانی تا سیمرین پسین تقسیم‌بندی شده است (آقانباتی ۱۳۸۳، خسروتهرانی

آغازین سازند سورمه به سن توارسین مشخص می‌شود. رخساره‌های کربنات زیرین سازند سورمه در یک پلاتفرم کربناتی از نوع رمپ هوموکلینال (Homoclinal Ramps) نهشته شده‌اند. رسوب‌گذاری سازند سورمه در آنین دچار وقوعه‌ای کوتاه شد، سپس در پی گسترش نتوتیس، شبیب حوضه‌ی رسوبی افزایش پیدا کرد و شیل زیرین سازند سورمه در حوضه‌ی درون شلفی به عنوان بخشی از یک فلات حاشیه‌دار وسیع رسوب‌گذاری کرده است. افق ماسه‌سنگ قرمزنگ در منطقه‌ی مورد مطالعه (کوه گدون) را ناشی از عملکرد فاز سیمیرین میانی می‌توان دانست. پیش‌روی دریای ژوراسیک میانی تا ژوراسیک بالایی ادامه داشته و شیل بالایی سازند یاد شده در این دریایی پیش‌رونده نهشته شده است. بخش‌های بالایی سازند سورمه در یک محیط رمپ (هموکلینال) تشکیل شده‌اند. ژوراسیک پیانی در نواحی فارس با یک سطح انحلال یافته از برش انحلالی مشخص می‌شود و نشان‌دهنده‌ی پس‌روی کوتاه مدت دریا در مرز ژوراسیک-کرتاسه است.



تصویر ۱۷- سطح انحلال یافته از برش انحلالی در پایانه‌ی سازند سورمه

و تشکیل ریز‌رخساره‌ی کربنئید پکستون، عمیق بودن حوضه (Deep shelf) را نشان می‌دهد. سپس رسوبات توربیدیتی با ریز‌رخساره‌ی Gradded, Laminated, Finely Cross-bedded Bioclastic, Pelloidal Grainstone های جهت یافته‌ی همراه با ذرات آواری مشخص می‌شوند که در این امتداد مواد آلی نیز تجمع یافته‌اند. علاوه بر آن در صد قابل توجهی پلوئید- که در یک زمینه‌ی اسپارایتی است- تشکیل می‌شوند.

نشانه‌هایی از کاهش ژرفای حوضه در بخش فوقانی کربنات بالایی سازند سورمه (کوه گدون) وجود دارد. ریز‌رخساره‌ی Ooid Bioclast Litoclast Packstone to Grainstone آواری همراه می‌باشد، می‌توان گفت ناشی از کم شدن عمق دریا است. ناپیوستگی ژوراسیک بالایی (تیتونین، احتمالاً اواسط تیتونین) هم زمان با یک ناپیوستگی تکتونیکی اصلی است که از اوایل تیتونین تاریخ Sharland et al. 2001, Ziegler 2001, Gradstein زده است (2004). این ناپیوستگی (تیتونین) طول موج بلندی که صفحه‌ی عربی را به سمت غرب کج می‌کند ثبت می‌کند (Murris 1980)، در عمان این کج شدگی هم زمان با پس‌روی خط ساحلی حدائق به طول ۲۰۰ کیلومتر است (Droste & Van Steenwinkel 2004).

سازند سورمه در نواحی فارس ساحلی و قسمت‌های جنوبی فروافتادگی دزفول که سازند انیدریتی هیث وجود دارد در زیر این سازند قرار می‌گیرد (امیری‌بختیار ۱۳۸۸). مطالعات فسیل شناسی سنگ‌های ژوراسیک پسین (تیتونین- نوکومین) و همچنین وجود سطح انحلال یافته از برش انحلالی (تصویر ۱۷) در پایانه‌ی سازند سورمه، بیانگر ناپیوستگی مرز ژوراسیک-کرتاسه، در کوه گدون می‌باشد.

۵- نتیجه‌گیری

قاعده‌ی رخساره‌های کربناته‌ی لیتیوپیس دار (*Lithiotis*) بخش

تشکر و قدردانی

از آقایان دکتر علی‌حسین جلیلیان، مهندس سید بهمن حسینی- فالحی، حسین محمدی و خانم مژده مولا‌زاده و خانم ناهید مهرورزان به خاطر چند راهنمایی در انجام این تحقیق و رهنمود در نگارش این مقاله، صمیمانه و خالصانه تشکر و قدردانی می‌گردد.

مراجع

- آقاباتی، ع، ۱۳۷۷، "چینه‌نگاری ژوراسیک ایران"، جلد دوم، سازمان زمین‌شناسی کشور، شماره‌ی ۶۵، ۷۴۶ ص.
- آقاباتی، ع، ۱۳۸۳، "زمین‌شناسی ایران"، سازمان زمین‌شناسی کشور، شماره‌ی ۵۰۵/۵، ۵۰۳، ۶۰۳ ص.
- امیری‌بختیار، ح، طاهری، م. و اکبری، ن، ۱۳۸۲، "بیواستراتیگرافی سازنده‌های زاگرس"، شرکت ملی مناطق نفت‌خیز جنوب، گزارش شماره‌ی ب-۲-۱۵۰: ۵۲۵-۱۴۶.
- امیری‌بختیار، ح، ۱۳۸۸، "زمین‌شناسی تبخیری‌های ایران"، شرکت ملی مناطق نفت‌خیز جنوب، گزارش شماره‌ی ۵۵۳/۵، ۳۰۶، ۵۵۳ ص.
- جلیلیان، ع، ح، لاسمی، ی. و آقاباتی، ع، ۱۳۸۷، "گذر از ژوراسیک آغازین به میانی در پهنه‌ی زاگرس: رخساره‌ها و محیط رسوب‌گذاری بخش آغازین سازند سورمه"، مجموعه مقالات دوازدهمین همایش انجمن زمین‌شناسی ایران، جلد سوم، صفحه‌ی ۴۰-۳۴.

- Alavi , M., 2007, "Structures Of the Zagros Fold-Thrust belt in Iran", American Journal of Science, Vol. 307: 1064–1095.**
- Alsharhan, A. S. & Kendall, C. G., 1986, "Precambrian to Jurassic rocks of Persian Gulf and adjacent area: their facies, depositional setting and hydrocarbon habitat", AAPG, V. 7, No. 8: 977-1002.**
- Banner, F. T., Whittaker, J. E., Boudagher-Fadel, M. K. & Samuel, A., 1997, "Socotrania, a new Hauraniid genus from the Upper lias of the Middle East (Foraminifera, Textularia)", Revue De Micropaleontologie, Vol. 40, No. 2: 115-123.**
- Berberian, M., & King, G. C. P., 1981, "Towards a paleogeography and tectonic evolution of Iran": Canadian Journal of Earth Sciences, Vol. 18: 210-265.**
- Blomeier, D. P. G. & Reijmer, J. J. G., 1999, "Drowning of a Lower Jurassic carbonate platform: Jebel Bou Dahar, High Atlas, Morocco", Facies, Vol. 41: 81-110.**
- Bordenave, M. L., 2002, "Gas prospective areas in the Zagros Domain of Iran and in the Gulf Iranian waters", AAPG Convention, Houston, (extended abstract, 6pp).**
- Burchette, T. P. & Wright, V. P., 1992, "Carbonate ramp depositional systems", Sed. Geology, Vol. 79: 3-57.**
- Droste, H. & Van Steenwinkel, M., 2004, "Stratal geometries and patterns of platform carbonates: the Cretaceous of Oman", In: Eberli, G. P., Masaffero, J. L. & Sarg, J. F. R. (eds) Seismic Imaging of Carbonate Reservoirs and Systems. American Association of Petroleum Geologists, Memoirs, Vol. 81: 185–206.**
- Dunham, R. J., 1962, "Classification of carbonate rocks according to depositional texture", In: Ham, W. E., (Ed.): Classification of carbonate rocks, sympo. AAPG, Mem, Vol. 1: 108-121.**
- Ehrenberg, S. N., 2006, "Porosity destruction in carbonate platforms", Journal of Petroleum Geology, Vol. 29: 41–52.**
- Flügel, E., 2004, "Microfacies analysis of limestone: analysis, interpretation and application", Springer - Verlag, Berlin, 976 p.**
- Golonka, J. & Kiessling, W., 2002, "Phanerozoic Time Scale and definition of time slices", SEPM, special pub, No. 72: 11-20.**
- Grabau, A. W., 1904, "On the classification of sedimentary rocks", Am. Geol., Vol. 33: 47-228.**
- Gradstein, F. M., Ogg, J. G. & Smith, A. G. (eds) 2004, "A Geological Time Scale", Cambridge University Press, Cambridge.**
- Haq, B. U. & Al-Qahtani, A. M., 2005, "Phanerozoic cycles of sea-level change on the Arabian Platform", GeoArabia, Vol. 10: 127–160.**
- James, G. A. & Wynd, J. G., 1965, "Stratigraphic nomenclature of Iranian Oil Consortium Agreement area", American Association of Petroleum Geologists Bulletin, Vol. 49 (12), p.2182-2205.**
- جلیلیان، ع.، ح.، ۱۳۸۸، "چینه‌نگاری سکانسی سازند سورمه در زاگرس"، جنوب باختیر ایران، رساله‌ی دکترای، دانشگاه تربیت معلم تهران، ۲۰۵ ص.**
- خسرو‌تهرانی، خ.، ۱۳۸۴، "زمین‌شناسی ایران"، جلد دوم، انتشارات کلیدر تهران، شماره‌ی ۵۵۱/۷، ۴۸۰ ص.**
- خسرو‌تهرانی، خ.، ۱۳۷۷، "میکروپالئوتولوژی کاربردی"، جلد اول، انتشارات دانشگاه تهران، شماره‌ی ۲۲۳۴، ۳۷۱ ص.**
- کلانتری، ا.، ۱۳۶۵، "رخساره‌های میکروسکوپی سنگ‌های کربناتی ایران"، انتشارات وزارت نفت، گزارش شماره‌ی ۱۱، ۴۲۱ ص.**
- لامسی، ی.، ۱۳۷۹، "رخساره‌ها، محیط‌های رسوی و چینه‌نگاری نهشته سنگ‌های پرکامبرین بالایی و پالئوزویک ایران"، سازمان زمین‌شناسی و اکتشافات معدنی کشور، شماره‌ی ۷۱، ۱۸۰ ص.**
- لطفی، س..، ۱۳۸۵، "مطالعه‌ی محیط رسوی و بررسی کیفیت مخزنی بخش بالایی سازند سورمه (سازند عرب) در میدان بلال"، پایان‌نامه‌ی کارشناسی ارشد، دانشگاه تهران.**
- طبعی، ھ..، ۱۳۷۲، "زمین‌شناسی ایران، چینه‌نگاری زاگرس"، سازمان زمین‌شناسی کشور، شماره‌ی ۱، ۵۳۶ ص.**
- مفغوری مقدم، ا.، ۱۳۸۷، "چینه‌نگاری زیستی و محیط رسوی سازند آسماری در چاه شماره ۲۵ میدان نفتی گچساران"، فصلنامه زمین‌شناسی کاربردی، شماره‌ی ۴: ۲۷۷-۲۸۷.**
- ملکی خیمه سری، س..، ۱۳۸۷، "محیط رسوی و چینه‌نگاری سکانسی سازند فهلیان" فصلنامه زمین‌شناسی کاربردی، شماره‌ی ۴: ۲۸۷-۲۹۸.**
- هوشمندزاده، ع..، سهیلی، م. و حمدی، ب..، ۱۳۶۹، "شرح نقشه‌ی زمین‌شناسی چهارگوش اقلید"، مقیاس ۱:۲۵۰,۰۰۰، سازمان زمین‌شناسی کشور، شماره‌ی G10.**
- یوسف‌پور، م..، ر..، ۱۳۸۳، "مطالعه‌ی محیط رسوی و بررسی خصوصیات مخزنی بخش بالایی سازند سورمه (سازند عرب) در میدان رشدات"، پایان‌نامه‌ی کارشناسی ارشد، دانشگاه تهران.**
- Alavi, M., 1994, "Tectonics of the Zagros orogenic belt of Iran", new data and interpretations: Tectonophysics, Vol. 229: 211-238.**
- Alavi, M., 2004, "Regional stratigraphy of the Zagros fold-thrust belt of Iran and its proforeland evolution", American Journal of Science, Vol.304: 1-20.**

Lasemi, Y., 1995, "Platform carbonates of the upper Jurassic Mozdoran formation in the Kopet Dagh basin, NE Iran, facies, palaeoenvironments and sequences", *Sed Geol.*, Vol. 99: 151-164.

Lasemi, Y. & Jalilian, A. H., 2010, "The Middle Jurassic basinal deposits of the Surmeh Formation in the Central Zagros Mountains, southwest Iran": *Facies, Stacking Pattern and Controls. Carbonates and Evaporites*.

Leturmy, P. & Robin, C., 2010, "Tectonic and Stratigraphic Evolution of Zagros and Makran during the Mesozoic-Cenozoic", *Geological Society, London, Special Publications*, Vol. 330: 179-210.

Loeblich, A. R. & Tappan, H., 1985, "Foraminiferal Genera and Their Classification", Vol. 1: 970 pages and 212 plates & Vol. 2, 845 plates, *Van Ndsrand Reinhold Company, New York*.

Murris, R. J., 1980, "Middle East, stratigraphic evolution and oil habitat", *American Association of Petroleum Geologist Bulletin*, Vol. 64: 598-617.

Pollastro, R. M., 2003, "Total Petroleum Systems of the Paleozoic and Jurassic, Greater Ghawar Uplift and Adjoining Provinces of Central Saudi Arabia and Northern Arabian-Persian Gulf", *US Geological Survey Bulletin 2202-H. World Wide Web Address: http://pubs.usgs.gov/bul/b2202-h/*.

Sepehr, M. & Cosgrove, J. W., 2004, "Structural framework of the Zagros fold-thrust belt, Iran", *Marine and Petroleum Geology*, Vol. 21: 829-843.

Sharland, P. R., Archer, R. et al. 2001, "Arabian Plate Sequences Stratigraphy", *GeoArabia, Special Publication*, Vol. 2, 371p.

Stocklin, J., 1968a, "Structural history and tectonics of Iran": *A review: American Association of Petroleum Geologists Bulletin*, Vol. 52: 1229-1258.

Stoneley, R., 1981, "The geology of the Kuh-e Dalneshin area of southern Iran, and its bearing on the evolution of southern Tethys", *Journal of the Geological Society, London*, Vol. 138: 509-526.

Stoneley, R., 1990, "The Arabian continental margin in Iran during the Late Cretaceous", In: *Robertson, A., Searle, M. & Ries, A. (eds) The Geology and Tectonics of the Oman Region. Geological Society, London, Special Publications*, Vol. 49: 787-795.

Tomasovych, A., 2004, "Microfacies and depositional environment of an Upper Triassic intera-platform basin", *The Fatic Unit of the West Carpathians (Slovakia), Facies*, Vol. 50: 77-105.

Tucker, M. E. & Wright, P., 1990, "Carbonate sedimentology", *Blackwell Scientific pub, Oxford*, 482 p.

Wilson, J. L., 1975, "Carbonate facies in geologic history", *Springer-Verlag, New York, Inc*, 471 p.

Ziegler, M., 2001, "Late Permian to Holocene paleofacies evolution of the Arabian Plate and its hydrocarbon occurrences", *GeoArabia*, Vol. 6: 445-504.